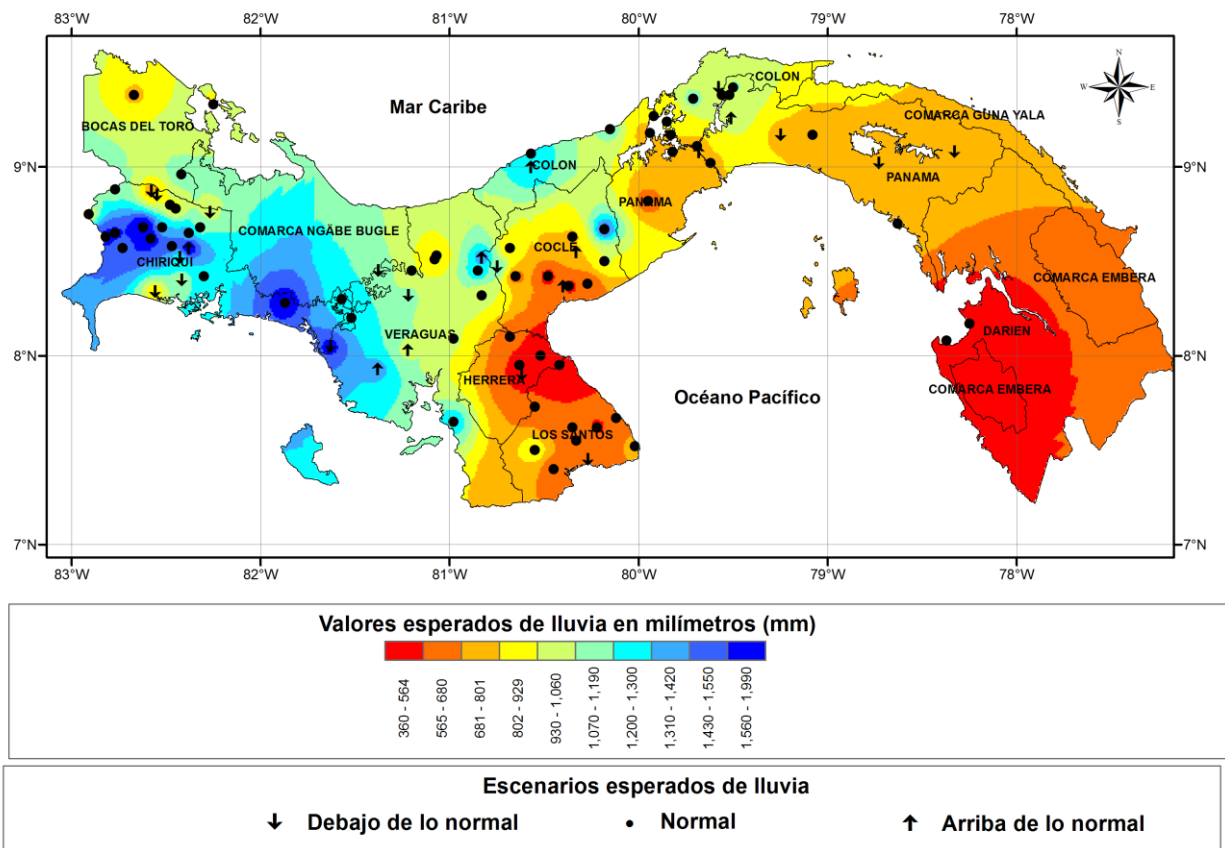


EMPRESA DE TRANSMISIÓN ELÉCTRICA, S. A.
 DIRECCIÓN DE HIDROMETEOROLOGÍA
 GERENCIA DE INVESTIGACIÓN Y APLICACIONES CLIMÁTICAS

Pronóstico mensual de lluvia para Panamá de julio, agosto y septiembre de 2016

Mapa 1. Valores y escenarios de lluvia esperados para el mes de julio, agosto y septiembre de 2016.



Nota. En la Tabla 2 se amplia con mayor detalle el escenario esperado de lluvia por estación, mostrado en el Mapa 1.

Tabla 1. Equivalencia de la simbología utilizada para clasificar los escenarios de lluvia de cada una de las estaciones meteorológicas.

Debajo de lo normal	Normal con tendencia a debajo		Normal	Normal con tendencia a arriba		Arriba de lo normal
↓↓↓	↓↓	↓	•	↑	↑↑	↑↑↑

Tabla 2. Escenario esperado de lluvia para el mes de julio, agosto y septiembre de 2016 para cada estación meteorológica, clasificado según los registros históricos (1981-2010).

Provincia	Estación meteorológica	Rango normal de lluvia (mm)		Escenario esperado
		Límite inferior	Límite superior	
Bocas del Toro	Bocas del Toro	713	966	•
	Changuinola Sur	1105	1297	•
	Sieyik	703	862	•
Chiriquí	Angostura de Cochea	1257	1570	↑↑↑
	Bajo Grande	779	881	↓
	Breñon	1394	1746	•
	Caldera (Pueblo Nuevo)	1146	1509	•
	Camarón Tabasará	1555	1896	↓
	Cañas Gordas	864	1047	•
	Cermeño	1160	1373	↓
	Cerro Iglesia	1165	1346	•
	Cerro Punta	678	748	↓↓
	Cuesta de Piedra	1858	2324	•
	David	992	1128	↓
	Finca Lérida	829	1001	•
	Fortuna (Casa Control)	906	1232	↓
	Gómez Arriba	1326	1643	•
	Las Martinas	772	924	↓
	Los Naranjos	792	936	•
	Los Palomos	1421	1772	•
	Macano Arriba	1492	1834	•
	Paja de Sombrero	1016	1291	•
	Piedra Candela	1015	1308	•
Potreriño Arriba	1179	1469	•	
San Félix	1490	1802	•	
Santa Cruz	1467	1683	•	
Veladero Gualaca	1172	1418	•	
Coclé	Antón	493	596	•
	Chiguirí Arriba	1337	1717	•
	Las Huacas de Quijé	1097	1449	↓
	Las Sabanas	739	1066	•
	Olá	566	675	•
	Puerto Posada	503	605	↑↑↑
	Río Grande	469	546	•

Provincia	Estación meteorológica	Rango normal de lluvia (mm)		Escenario esperado
		Límite inferior	Límite superior	
	Río Hondo	474	579	•
	Santa Rita	859	1026	•
	Sonadora	660	796	↑↑
	Toabre	611	852	•
Colón	Agua Clara	1053	1327	•
	Caño	649	775	•
	Coclé del Norte	1167	1393	•
	Escandalosa	921	1067	↓
	Gamboa	708	790	•
	Gatún Rain	829	984	•
	Guacha	608	733	•
	Icacal	1083	1232	•
Darién	San Lucas	1104	1340	↑
	Garachine	346	442	•
Herrera	Taimatí	428	471	•
	Divisa	542	726	•
	Llano de la Cruz	484	644	•
	Parita	332	460	•
Los Santos	Pesé	510	619	↓
	Cañas	637	752	↓
	El Cañafistulo	470	596	•
	La Llana	882	1049	•
	La Miel	630	743	•
	Los Santos	323	421	•
	Macaracas	518	668	•
	Pedasí	688	771	•
	Pocrí	493	619	•
Panamá	Tonosí	532	617	•
	Valle Rico	476	671	•
	Barro Colorado	716	885	•
	Caimito	505	707	•
	Candelaria	942	1099	•
	Cascadas	727	796	↑
	Chepo	638	844	•
	Chico	896	1032	↑
	Chiman	617	786	•
	Loma Bonita	726	944	↓
	Montelirio	762	914	•
	Pedro Miguel	724	821	•
	Peluca	884	993	•
Piríá (Poblado)	692	848	↓↓	
Río Majé	734	974	↓	
San Miguel	1044	1253	•	

Provincia	Estación meteorológica	Rango normal de lluvia (mm)		Escenario esperado
		Límite inferior	Límite superior	
Veraguas	Calobre	908	1064	•
	Cañazas	958	1314	↓
	El Cobrizo	1153	1418	↓
	El Marañón	827	1042	↑
	El Palmar	798	1096	•
	Laguna La Yeguada	1204	1579	•
	Los Valles	847	1174	•
	Mariato	1121	1391	•
	Ojo de Agua	1220	1399	•
	Santa Fe	682	886	•
	Santiago	853	961	•
Cative	1146	1451	↑	

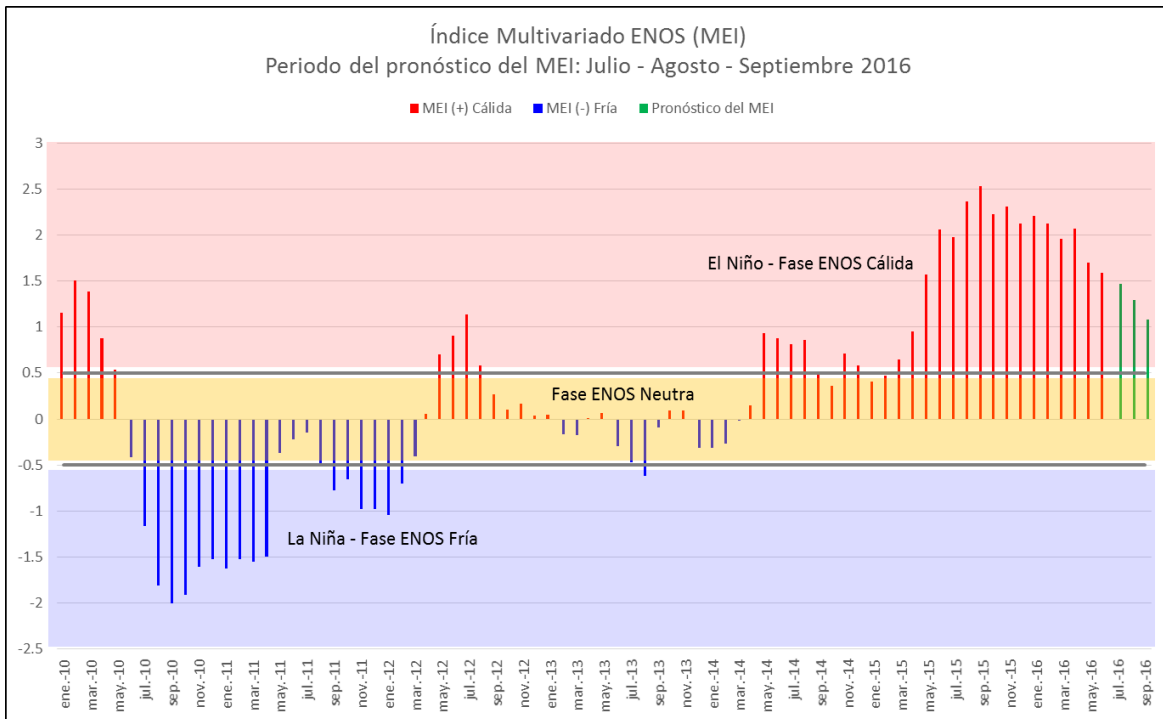
Nota. Los escenarios de lluvia clasifican, según la climatología de cada región (ver Tabla 2), si los valores de lluvia esperados son: normales, bajo de lo normal o arriba de lo normal.

Consideraciones especiales

Según el Informe de discusión del CENTRO DE PREDICCIONES CLIMÁTICAS (CPC)/NCEP/NWS y el Instituto Internacional de Investigación para el Clima y la Sociedad (IRI), con fecha del 9 de junio de 2016, se evidencia una disipación del fenómeno del niño en la región 3.4 (5°N-5°S, 120°W-170°W) con tendencia ENOS-neutral según los modelos estadísticos y dinámicos de la temperatura de la superficie del mar (SST, por su siglas en inglés).

Por otro lado, el pronóstico de SST del CPC/IRI, con fecha del 16 de junio de 2016, advierte una ocurrencia del fenómeno de La Niña con una probabilidad del 57% durante el trimestre julio, agosto y septiembre de 2016.

Gráfica 1. Registros del Índice Multivariado del ENOS (MEI, por sus siglas en inglés) para el periodo de enero de 2010 a junio de 2016 y sus respectivos pronósticos para los meses de julio, agosto y septiembre de 2016.



Nota. El MEI es un indicador para monitorear el fenómeno de El Niño – Oscilación del Sur (ENOS), éste se basa en las seis principales variables observables sobre el Océano Pacífico Tropical: presión al nivel del mar (P), componentes de viento superficial zonal (U) y meridional (V), temperatura sobre la superficie del mar (SST), temperatura del aire en superficie (A) y fracción total de nubosidad en el cielo (C). El área de la gráfica sombreada en rojo, muestra valores positivos del MEI y están relacionado con las fases cálidas del ENOS (también denominada El Niño). El área de la gráfica sombreada en azul, muestra valores negativos del MEI y están relacionados con las fases frías del ENOS (también denominada La Niña). Los valores del MEI dentro de la franja amarilla están relacionados con la fase neutra del ENOS.

Según la Gráfica 1, el pronóstico del MEI para los meses de julio, agosto y septiembre de 2016 indica una transición de condiciones positivas del MEI a neutras, es decir que las condiciones océano-atmosféricas estarán retornando a su patrones normales, favoreciendo así las condiciones de obtener lluvias normales durante este trimestre.

Fuentes:

- http://www.cpc.ncep.noaa.gov/products/analysis_monitoring/enso_advisory/ensodisc_Sp.pdf
- <http://iri.columbia.edu/our-expertise/climate/forecasts/enso/current/>
- http://iri.columbia.edu/our-expertise/climate/forecasts/enso/current/?enso_tab=enso-sst-table